

05

## Аналитический расчёт плотности тока свободных электронов на низших гармониках ионизирующего эллиптически поляризованного лазерного импульса в присутствии постоянного электрического поля

© А.А. Силаев<sup>1,2</sup>, А.А. Романов<sup>1,2</sup>, Н.В. Введенский<sup>1,2</sup>

<sup>1</sup> Институт прикладной физики РАН,  
603950 Нижний Новгород, Россия

<sup>2</sup> Нижегородский государственный университет им. Н. И. Лобачевского,  
603950 Нижний Новгород, Россия

e-mail: silaev@appl.sci-nnov.ru

Поступила в редакцию 01.12.2022 г.

В окончательной редакции 19.12.2022 г.

Принята к публикации 28.01.2023 г.

Выведено аналитическое выражение для плотности тока свободных электронов, возбуждаемого в процессе туннельной ионизации газа эллиптически поляризованным импульсом в присутствии постоянного электрического поля. Аналитический расчёт спектральных компонент плотности тока на низших чётных и нечётных гармониках лазерного импульса хорошо согласуется с результатами численного моделирования.

**Ключевые слова:** лазерный импульс, ионизация, плазма, генерация низших гармоник, детектирование терагерцового и среднего ИК излучения.

DOI: 10.21883/OS.2023.02.55001.13-23

В последнее время большой интерес привлекает генерация низших гармоник (ГНГ) (с энергией фотонов порядка и ниже потенциала ионизации) оптического излучения при взаимодействии лазерных импульсов с различными средами [1]. Интерес к ГНГ связан, главным образом, с возможностью генерации коротких импульсов в ультрафиолетовом диапазоне [1–6]. Кроме этого, интерес к ГНГ связан с задачами, в которых имеет место совместное воздействие на вещество оптического и более низкочастотного излучения. К ним относится детектирование терагерцового (ТГц) или среднего ИК излучения за счёт чётных гармоник пробного лазерного импульса [7,8]. Поскольку амплитуда чётных гармоник линейна по напряженности низкочастотного поля в момент прихода лазерного импульса, зависимости их интенсивностей от времени задержки пробного импульса повторяют временной профиль квадрата низкочастотного поля, а добавление внешнего постоянного поля позволяет восстановить также направление поля [7–9]. В настоящее время данный метод, использующий генерацию второй гармоники пробного импульса за счёт кубической нелинейности, используется для измерения ТГц излучения, в частности, в импульсной ТГц спектроскопии [9–14].

Как было показано в нашей недавней работе [8], использование чётных брэнделевских гармоник (низших гармоник, возникающих в результате возбуждения тока свободных электронов в процессе туннельной ионизации атомов и молекул) обеспечивает существенно более высокую временную разрешающую способность

детектирования по сравнению с использованием кубической (керровской) нелинейности. Это обеспечивается существенно более короткой длительностью импульсов брэнделевских гармоник по сравнению с длительностью лазерного импульса [5,6,8]. Было показано, что сильный шумовой сигнал, возникающий при использовании линейно поляризованных лазерных импульсов и связанный с заселением возбуждённых состояний атомов или молекул, который может превышать интенсивность чётных брэнделевских гармоник, устраняется за счёт использования эллиптически поляризованных лазерных импульсов [8].

В данной работе представлен аналитический подход к исследованию чётных и нечётных брэнделевских гармоник, генерируемых при ионизации газа эллиптически поляризованными импульсами в присутствии постоянного поля. Результаты, даваемые этим подходом, сравниваются с результатами численных расчётов.

Мы предполагаем, что действующее на атомы или молекулы газа электрическое поле состоит из статического поля  $\mathbf{E}_S$  и эллиптически поляризованного лазерного импульса с частотой  $\omega_0$  в оптическом или ИК диапазоне:

$$\mathbf{E}(t) = \mathbf{E}_S + \mathbf{E}_L(t), \quad \mathbf{E}_S = \hat{\mathbf{x}}E_S, \quad (1)$$

$$\mathbf{E}_L(t) = A(t)\text{Re} [e^{i\omega_0 t} \hat{\mathbf{e}}], \quad \hat{\mathbf{e}} = \hat{\mathbf{x}} + i\varepsilon\hat{\mathbf{y}}, \quad (2)$$

где  $\varepsilon$  — эллиптичность,  $A(t) = E_0 f(t) \geq 0$  — медленная колоколообразная огибающая с максимумом  $E_0$ . Приближение электрического поля детектируемого низкочастотного импульса статическим полем  $\mathbf{E}_S$  возможно

при достаточно большом периоде детектируемого поля, много большем характерной длительности генерируемых гармоник лазерного импульса. В то же время длительность детектируемого импульса (порядка и менее пикосекунды) гораздо меньше масштаба времени, на котором возможен лавинообразный рост концентрации ионов в результате столкновительной ионизации при давлениях газа порядка одной атмосферы и меньше [15]. Это делает возможным рассматривать большие напряжённости поля  $\mathbf{E}_S$  вплоть до нескольких MV/cm и выше (но в то же время недостаточные для туннельной ионизации атомов полем  $\mathbf{E}_S$ ). Интенсивность лазерного поля  $\mathbf{E}_L(t)$  предполагается порядка и выше порогового для ионизации газа значения, которое составляет порядка  $10^{14} - 10^{15}$  W/cm<sup>2</sup> в зависимости от сорта газа и длительности импульса и может быть достигнута как при острой, так и при пологой фокусировке лазерного импульса.

Плотность тока свободных электронов  $\mathbf{j}(t)$  находится из решения классических уравнений гидродинамики холодной плазмы с переменным числом частиц:

$$\frac{\partial \mathbf{j}}{\partial t} = \frac{e^2 N}{m} \mathbf{E}, \quad \frac{\partial N}{\partial t} = (N_g - N)w(E), \quad (3)$$

с нулевыми начальными условиями при  $t \rightarrow -\infty$  [16]. Здесь  $N$  — плотность свободных электронов,  $N_g$  — начальная плотность газа,  $e$  и  $m$  — заряд и масса электрона соответственно,  $w(E)$  — вероятность туннельной ионизации в единицу времени в электрическом поле  $E = |\mathbf{E}|$ .

Для расчёта гармоник плотности тока разложим вероятность ионизации в единицу времени в ряд Тейлора по малой напряженности поля  $E_S$ , предполагая, что эллиптичность  $\varepsilon$  достаточно мала:

$$w(E) \approx w(|E_{Lx}|) + E_S w'(|E_{Lx}|) \text{sign}[E_{Lx}], \quad (4)$$

где  $E_{Lx} = A \cos \omega_0 t$  — проекция напряженности лазерного поля на ось  $x$ , штрих означает производную по аргументу, и предполагается, что  $E_S \ll 2A/n_1(A)$ , где  $n_1(A) = w''(A)A/w'(A)$ . В силу периодичности лазерного поля  $w(E)$  представляется в виде бесконечной суммы квазигармонических составляющих на частотах, кратных частоте лазерного импульса,  $w(E) \approx \text{Re} \sum_{k=0}^{\infty} w_k(t) e^{ik\omega_0 t}$ . Медленные амплитуды гармоник могут быть определены через  $w(E)$  как

$$w_k(t) = \frac{1}{T} \int_{t-T/2}^{t+T/2} w[E(t')] e^{-ik\omega_0 t'} dt', \quad (5)$$

где  $T = 2\pi/\omega_0$  — период поля. Для аналитической оценки  $w_k(t)$  будем исходить из того, что  $w$  есть резкая функция своего аргумента, и вблизи моментов максимумов/минимумов поля  $t = kT/2$ , где  $k$  — целое, аппроксимируется:

$$w(|E_{Lx}|) \approx w(A) e^{n_0(A)[(-1)^k \cos(\omega_0 t) - 1]}, \quad (6)$$

$$w'(|E_{Lx}|) \approx w'(A) e^{n_1(A)[(-1)^k \cos(\omega_0 t) - 1]}, \quad (7)$$

где  $n_0(A) = w'(A)A/w(A)$ . Используя эти выражения, получаем

$$w_k \approx 2E_S w'(A) e^{-n_1} I_k(n_1), \quad \text{нечётное } k, \quad (8)$$

$$w_k \approx 2w(A) e^{-n_0} I_k(n_0), \quad \text{чётное } k. \quad (9)$$

Здесь  $I_k(\xi)$  — модифицированная функция Бесселя первого рода, и значения  $n_{0,1}$  берутся при аргументе  $A$ . В силу резкой зависимости вероятности ионизации от напряженности поля  $n_{0,1} \gg 1$ , в результате чего можно воспользоваться асимптотикой модифицированной функции Бесселя  $I_k(\xi) \approx e^{\xi - k^2/2\xi} / \sqrt{2\pi\xi}$  при  $\xi \gg 1$ . Таким образом, помимо чётных гармоник, возникающих даже при  $E_S = 0$ , в присутствии постоянного поля вероятность ионизации содержит также нечётные гармоники, линейные по  $E_S$ . Концентрация свободных электронов  $N(t)$  также представляется в виде квазигармонического ряда,  $N(t) \approx \text{Re} \sum_{k=0}^{\infty} N_k(t) e^{ik\omega_0 t}$ , где комплексные амплитуды гармоник с номерами  $k \geq 1$  равны

$$N_{k \geq 1} \approx -i(N_g - N_0) \frac{w_k}{k\omega_0}. \quad (10)$$

Усреднённая по периоду поля концентрация свободных электронов  $N_0(t)$  подчиняется уравнению

$$\frac{\partial N_0}{\partial t} = (N_g - N_0)w_0(t). \quad (11)$$

При записи (10), (11) предполагается, что период поля  $T$  много меньше длительности ионизации  $\tau_i$  (характерного времени роста  $N_0$ ), определяемой как  $\tau_i = [-N_0'(t_0)/N_0'''(t_0)]^{1/2}$ , где  $t_0$  — момент времени, при котором  $\partial N_0/\partial t$  достигает максимального значения. В случае, когда финальная степень ионизации мала,  $|t_0| \ll \tau$  и  $\tau_i \approx \tau / \sqrt{n_0(E_0)}$ , где  $\tau = [-f(0)/f''(0)]^{1/2}$  — длительность импульса [5,17–19]. Таким образом, длительность ионизации, определяющая длительность брουνелевских гармоник, много меньше длительности лазерного импульса. При больших интенсивностях лазерного импульса, когда степень ионизации большая,  $|t_0|$  увеличивается, а длительность ионизации (в случае гауссовой огибающей лазерного импульса) уменьшается [19–21].

Смешение электрического поля с квазигармоническими составляющими концентрации приводит к возникновению квазигармонических составляющих в производной плотности тока:

$$\frac{\partial \mathbf{j}}{\partial t} \approx \text{Re} \sum_{k=0}^{\infty} \mathbf{F}_k e^{ik\omega_0 t}, \quad (12)$$

$$\mathbf{F}_{k \geq 2}(t) = (e^2/m)[(N_{k-1} \hat{\mathbf{e}} + N_{k+1} \hat{\mathbf{e}}^*)A/2 + N_k \mathbf{E}_S]. \quad (13)$$

Для чётных  $k$  отношение второго слагаемого ( $N_k \mathbf{E}_S$ ) в формуле (13) к первому порядка  $1/n_0(A) \ll 1$ , т.е. пренебрежимо мало. Для нечётных  $k$  второе слагаемое

в формуле (13) квадратично по  $E_S$ , и им также можно пренебречь. В результате получаем

$$\mathbf{F}_{k \geq 2}(t) = (e^2 A/m)(C_+ \hat{\mathbf{x}} + i \varepsilon C_- \hat{\mathbf{y}}), \quad (14)$$

$$C_{\pm} = N_{k-1} \pm N_{k+1} = -i \frac{\alpha_k D_{\pm}}{\omega_0} \frac{\partial N_0}{\partial t}, \quad (15)$$

$$D_{\pm} = \frac{e^{-(k-1)^2/2n_0}}{k-1} \pm \frac{e^{-(k+1)^2/2-n_0}}{k+1}, \quad (16)$$

$$\alpha_k = \begin{cases} 1, & \text{нечётное } k, \\ n_0(A)E_S/A, & \text{чётное } k. \end{cases} \quad (17)$$

При записи последнего выражения принималось  $n_1 \approx n_0$  [5]. При  $k \ll 2n_0$ ,

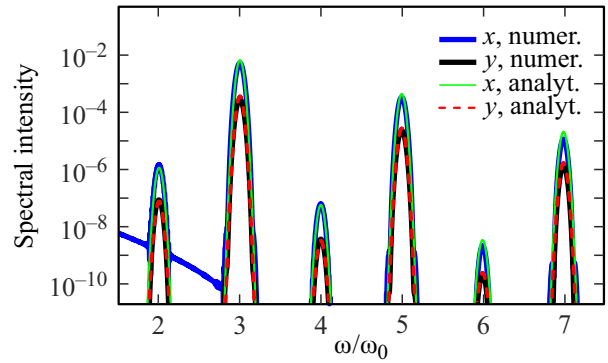
$$D_+ \approx \frac{2ke^{-k^2/2n_0}}{k^2-1}, \quad D_- \approx \frac{2(k^2/n_0+1)e^{-k^2/2n_0}}{k^2-1}.$$

Из полученных аналитических выражений видно, что генерируемые низшие гармоники обладают эллиптической поляризацией с запаздыванием по фазе на  $\pi/2$  относительно лазерного поля и с эллиптичностью  $\varepsilon_{k \geq 2} \approx \varepsilon D_-/D_+$ . Заметим, что последнее выражение справедливо при любых (в том числе при сравнимых с единицей) степенях ионизации газа. Таким образом, эллиптичность брουνелевских гармоник (а) меньше эллиптичности лазерных импульсов и (б) монотонно уменьшается с увеличением номера гармоники до  $k \approx \sqrt{n_0(E_0)}$  и далее возрастает, асимптотически стремясь к  $\varepsilon k/n_0(E_0)$ . Амплитуды чётных/нечётных гармоник  $\partial \mathbf{j}/\partial t$  при достаточно малых  $k$  спадают обратно пропорционально номеру гармоники. При фиксированной пиковой интенсивности лазерного импульса  $I = (c/8\pi)(1 + \varepsilon^2)E_0^2$  (где  $c$  — скорость света в вакууме) амплитуды гармоник максимальны при нулевой эллиптичности и уменьшаются при увеличении  $\varepsilon$  пропорционально фактору  $w(E_0) \approx w(E_{\max})(1 - n_0(E_{\max})\varepsilon^2/2)$ , где  $E_{\max} = (8\pi I/c)^{1/2}$ . Данный фактор определяет максимальную величину скорости роста концентрации  $\partial N_0/\partial t$  в формуле (14) для комплексных амплитуд брουνелевских гармоник. Таким образом, характерный масштаб спада амплитуд гармоник при увеличении эллиптичности есть  $\varepsilon \sim 1/\sqrt{n_0(E_{\max})}$ .

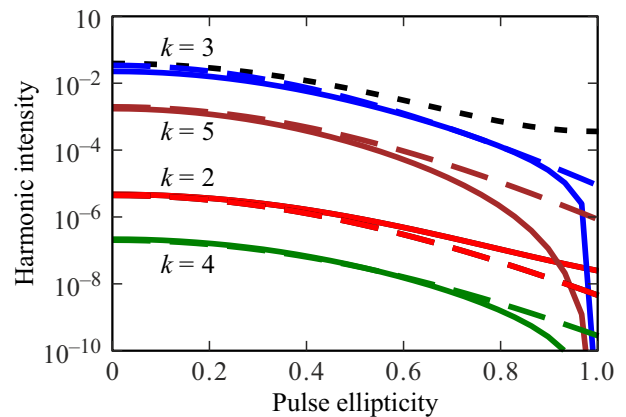
Для того, чтобы удостовериться в точности полученных аналитических формул, мы проводим их сопоставление с результатами численных расчётов, основанных на решении уравнений (3) для атома гелия. Мы задаём вероятность ионизации атома гелия в единицу времени как

$$w(E) = \alpha \omega_a (E_a/E)^\delta \exp(-\beta_1 E_a/E - \beta_2 E/E_a), \quad (18)$$

где  $\omega_a = 4.13 \cdot 10^{16} \text{ s}^{-1}$  и  $E_a = 5.14 \cdot 10^9 \text{ V/cm}$  — атомные единицы частоты и поля соответственно,  $\alpha = 9.2$ ,  $\beta_1 = 1.6$ ,  $\beta_2 = 3.2$ , и  $\delta = 0.49$  [8,22]. Во всех расчётах  $E_S = 500 \text{ kV/cm}$ , длина волны  $\lambda = 2\pi c/\omega_0 = 800 \text{ nm}$ , огибающая  $f(t) = e^{-t^2/2\tau^2}$  с полной длительностью по



**Рис. 1.** Квадрат спектра  $x$ - и  $y$ -компонент  $\partial \mathbf{j}/\partial t$ , нормированный на  $N_g^2$  (в атомных единицах) при ионизации гелия лазерным импульсом длительностью 50 fs с длиной волны 800 nm, пиковой интенсивностью  $10^{15} \text{ W/cm}^2$  и эллиптичностью  $\varepsilon = 0.4$  в присутствии статического электрического поля  $E_S = 500 \text{ kV/cm}$ . Толстые сплошные линии — численное решение уравнений (3), тонкие сплошная и штриховая линии — аналитическая формула (19) для  $x$ - и  $y$ -компонент соответственно.



**Рис. 2.** Спектральная интенсивность  $k = 2 — 5$  гармоник  $\partial \mathbf{j}/\partial t$ , нормированная на  $N_g^2$  (в атомных единицах) от эллиптичности  $\varepsilon$  лазерного импульса. Сплошные линии — численный расчёт, штриховые линии — аналитическая формула (19). Пунктирной линией показан найденный численно квадрат финальной степени ионизации газа.

уровню интенсивности  $1/2$  равной  $\tau_p = \tau/2\sqrt{\ln 2} = 50 \text{ fs}$  и с пиковой интенсивностью  $I = 10^{15} \text{ W/cm}^2$ .

На рис. 1 показан найденный численно квадрат фурье-спектра  $x$ - и  $y$ -компонент производной плотности тока,  $S_{x,y}(\omega) = |\int (\partial j_{x,y}/\partial t) e^{-i\omega t} dt|^2$  для эллиптичности лазерного импульса  $\varepsilon = 0.4$ . Полученный результат сравнивается с аналитическим результатом для случая малой степени ионизации:

$$S_{x,y}(\omega > 0) = \frac{j_{\text{osc}}^2 w^2(E_0) \tau^2}{n_0^2} \sum_{k=2}^{\infty} \alpha_k^2 G_{x,y} e^{-\frac{(\omega - k\omega_0)^2 \tau^2}{n_0}}, \quad (19)$$

где  $j_{\text{osc}} = e^2 N_g E_0 / m \omega_0$ ,  $G_x = D_+^2$ ,  $G_y = D_-^2$ ;  $D_{\pm}$  задаются с использованием (16). Как видно из рис. 1, при

данных параметрах аналитическая формула с высокой точностью согласуется с результатами прямого численного расчёта.

На рис. 2 показаны зависимости полных интенсивностей гармоник  $S_x(\omega) + S_y(\omega)$  от эллиптичности лазерного импульса  $\varepsilon$ . Интенсивности гармоник максимальны при нулевой эллиптичности и снижаются при её увеличении приблизительно по такому же закону, как и квадрат финальной степени ионизации  $N(\infty)/N_g$  (отмеченный на рисунке пунктирной линией). Найденные численно интенсивности гармоник резко обращаются в ноль при приближении эллиптичности к единице, за исключением интенсивности второй гармоники, которая при  $\varepsilon = 1$  примерно на два порядка меньше, чем при  $\varepsilon = 0$  (приблизительно такое же отношение наблюдается и для квадрата финальной степени ионизации). Значения интенсивностей гармоник, найденные аналитически с использованием формулы (19), с высокой точностью согласуются с численным расчётом для очень широкого диапазона эллиптичностей. При этом существенные отклонения наблюдаются только при приближении  $\varepsilon$  к единице. Например, в случае третьей гармоники аналитический и численный расчёты практически точно совпадают при эллиптичности  $\varepsilon < 0.9$ . Такое же хорошее согласие достигается для второй и пятой гармоник при  $\varepsilon < 0.6$  и для четвёртой гармоники при  $\varepsilon < 0.8$ . Таким образом, разработанная аналитическая модель обладает высокой точностью и может быть использована как для оценки вклада тока свободных электронов в механизмы ГНГ и определения оптимальных режимов ГНГ, так и для разработки и оптимизации методов детектирования ТГц или среднего ИК излучения.

### Финансирование работы

Работа выполнена при поддержке Российского научного фонда (грант № 22-72-10133).

### Конфликт интересов

Авторы заявляют, что у них нет конфликта интересов.

### Список литературы

- [1] W.-H. Xiong, L.-Y. Peng, Q. Gong. *J. Phys. B: At. Mol. Opt. Phys.*, **50** (3), 032001 (2017). DOI: 10.1088/1361-6455/50/3/032001
- [2] A. V. F. Zuffi, N. D. V. Junior, R. E. Samad. *Phys. Rev. A*, **105** (2), 023112 (2022). DOI: 10.1103/PhysRevA.105.023112
- [3] U. Sapaev, A. Husakou, J. Herrmann. *Opt. Expr.*, **21** (21), 25582–25591 (2013). DOI: 10.1364/OE.21.025582
- [4] E. E. Serebryannikov, A. M. Zheltikov. *Phys. Rev. Lett.*, **113** (4), 043901 (2014). DOI: 10.1103/PhysRevLett.113.043901
- [5] V. A. Kostin, N. V. Vvedenskii. *Phys. Rev. Lett.*, **120**, 065002 (2018). DOI: 10.1103/PhysRevLett.120.065002
- [6] В.А. Костин, Н.В. Введенский. *Письма в ЖЭТФ*, **110** (7), 449–455 (2019). DOI: 10.1134/S0370274X19190044
- [7] V.A. Kostin, N.V. Vvedenskii. *JETP Letters*, **110** (7), 457–463 (2019). DOI: 10.1134/S0021364019190081].
- [8] N. Karpowicz, J. Dai, X. Lu, Y. Chen, M. Yamaguchi, H. Zhao, X.-C. Zhang, L. Zhang, C. Zhang, M. Price-Gallagher et al. *Appl. Phys. Lett.*, **92** (1), 011131 (2008). DOI: 10.1063/1.2828709
- [9] A.A. Silaev, A.A. Romanov, N.V. Vvedenskii. *Opt. Lett.*, **47** (18), 4664–4667 (2022). DOI: 10.1364/OL.462916
- [10] Y. Tan, H. Zhao, W.-M. Wang, R. Zhang, Y.-J. Zhao, C.-L. Zhang, X.-C. Zhang, L.-L. Zhang. *Phys. Rev. Lett.*, **128** (9), 093902 (2022). DOI: 10.1103/PhysRevLett.128.093902
- [11] E. Matsubara, M. Nagai, M. Ashida. *J. Opt. Soc. Am. B*, **30** (6), 1627–1630 (2013). DOI: 10.1364/JOSAB.30.001627
- [12] F. D'Angelo, Z. Mics, M. Bonn, D. Turchinovich. *Opt. Expr.*, **22** (10), 12475–12485 (2014). DOI: 10.1364/OE.22.012475
- [13] V.A. Andreeva, O.G. Kosareva, N.A. Panov, D.E. Shipilo, P.M. Solyankin, M.N. Esaulkov, P. G. de Alaiza Martínez, A.P. Shkurinov, V.A. Makarov, L. Bergé, S. L. Chin. *Phys. Rev. Lett.*, **116** (6), 063902 (2016). DOI: 10.1103/PhysRevLett.116.063902
- [14] J. Buldt, H. Stark, M. Müller, C. Grebing, C. Jauregui, J. Limpert. *Opt. Lett.*, **46**(20), 5256–5259 (2021). DOI: 10.1364/OL.442374
- [15] Z. Fan, C. Lu, Y. Liu. *Opt. Commun.*, **505**, 127532 (2022). DOI: 10.1016/j.optcom.2021.127532
- [16] Ю. П. Райзер. *Физика газового разряда* (ИД Интеллект, 2009).
- [17] F. Brunel. *J. Opt. Soc. Am. B*, **7** (4), 521–526 (1990). DOI: 10.1364/JOSAB.7.000521
- [18] N. V. Vvedenskii, A. I. Korytin, V. A. Kostin, A. A. Murzanev, A. A. Silaev, A. N. Stepanov. *Phys. Rev. Lett.*, **112**(5), 055004 (2014). DOI: 10.1103/PhysRevLett.112.055004
- [19] V. A. Kostin, I. D. Laryushin, A. A. Silaev, N. V. Vvedenskii. *Phys. Rev. Lett.*, **117**, 035003 (2016). DOI: 10.1103/PhysRevLett.117.035003
- [20] А. А. Силаев, В. А. Костин, И. Д. Ларюшин, Н. В. Введенский. *Письма в ЖЭТФ*, **107** (3), 160–165 (2018). DOI: 10.7868/S0370274X18030037 [A. A. Silaev, V. A. Kostin, I. D. Laryushin, N. V. Vvedenskii. *JETP Letters*, **107** (3), 151–156 (2018). DOI: 10.1134/S002136401803013X].
- [21] A. A. Silaev, N. V. Vvedenskii. *Physics of Plasmas*, **22** (5), 053103 (2015). DOI:10.1063/1.4918333
- [22] В. А. Костин, И. Д. Ларюшин, Н. В. Введенский. *Письма в ЖЭТФ*, **112** (2), 81–87 (2020). DOI: 10.31857/S1234567820140037 [V. A. Kostin, I. D. Laryushin, N. V. Vvedenskii. *JETP Letters*, **112** (2), 77–83 (2020). DOI: 10.1134/S002136402014012X].
- [23] X. M. Tong, C. D. Lin. *J. Phys. B: At. Mol. Opt. Phys.*, **38** (15), 2593 (2005). DOI: 10.1088/0953-4075/38/15/001